

## Løsningsforslag til øving 4

### Oppgave 1

a) Vi skriver først  $V_a$  om til en funksjon av  $x$  og  $z$ :

$$V_a = \frac{qa \cos \theta}{4\pi \varepsilon_0 r^2} = \frac{qa z/r}{4\pi \varepsilon_0 r^2} = \frac{qaz}{4\pi \varepsilon_0 (x^2 + z^2)^{3/2}}$$

Når vi deretter skal skrive et octave-program som plotter  $V_e$  og  $V_a$ , foretrekker jeg å innføre dimensjonsløse størrelser, slik at vi ender opp med å plotte *essensen* i de aktuelle funksjonene. I dette problemet inneholder uttrykkene våre ladningen  $q$  og lengdeskalaen  $a$ , så det er naturlig å innføre det konstante potensialet

$$V_0 = \frac{q}{4\pi \varepsilon_0 a}$$

og deretter dimensjonsløse størrelser  $\xi = x/a$ ,  $\eta = z/a$ ,  $v_e = V_e/V_0$  og  $v_a = V_a/V_0$ . Da har vi

$$\begin{aligned} v_e(\xi, \eta) &= \frac{1}{\sqrt{\xi^2 + (\eta - 1/2)^2}} - \frac{1}{\sqrt{\xi^2 + (\eta + 1/2)^2}} \\ v_a(\xi, \eta) &= \frac{\eta}{(\xi^2 + \eta^2)^{3/2}} \end{aligned}$$

I det nye dimensjonsløse  $(\xi, \eta)$ -planet ligger altså dipolen på  $\eta$ -aksen, i  $\pm 1/2$ . Et fornuftig område for plotting av funksjonene  $v_e$  og  $v_a$  kan dermed være for eksempel  $-2 < \xi < 2$  og  $-2 < \eta < 2$ .

På neste side har vi en octave-kode som plotter  $v_e$ ,  $v_a$  og det prosentvise avviket

$$\Delta = \left| \frac{v_e - v_a}{v_e} \right| \cdot 100$$

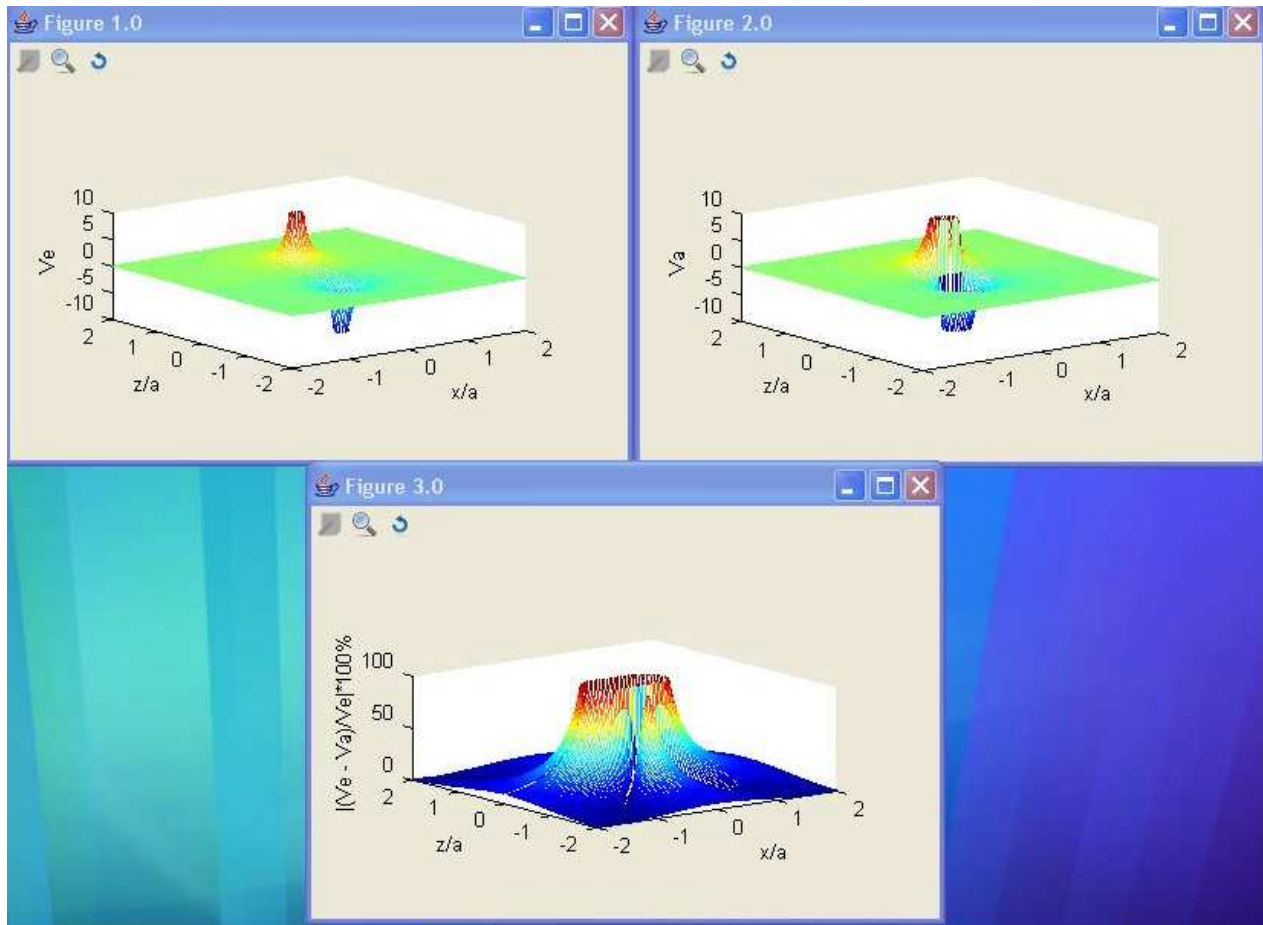
i tre separate figurer:

```

%%%%%%%%%%%%%%%
% Losningsforslag til oppgave 1a i oving 4 %
%%%%%%%%%%%%%%%
% Velg omraadet -2 < x < 2 og -2 < z < 2 for plotting, med skritt lengde
% 2/50 langs baade x og z, dvs ca 100 x 100 punkter i alt
[x,z] = meshgrid(-2:2/50:2,-2:2/50:2);
% Ve er det eksakte potensialet fra dipolen
Ve = (1./sqrt(x.^2+(z-1/2).^2))-1./sqrt(x.^2+(z+1/2).^2));
% Va er dipolpotensialet til ledende orden i a/r naar r >> a
Va = z.*x.^2.+z.^2).^(3/2);
% Relavvik er relativ differanse mellom Ve og Va i prosent
Relavvik = 100*abs((Ve-Va)./(Ve));
% Kommandoer figure ber om en ny figur
figure;
% Kommandoen mesh(x,y,z) tegner opp et 3D-plott av z som funksjon
% av x og y
mesh(x,z,Ve);
% Kommandoer axis([a b c d e f]) setter aksene for 3D-plot slik:
% a < x < b, c < y < d, e < z < f
axis([-2 2 -2 2 -10 10]);
% Kommandoer caxis([zmin zmax]) setter fargeskalaen slik at blaatt
% tilsvarer zmin og rodt tilsvarer zmax
caxis([-10 10]);
% Tekst paa aksene
xlabel('x/a');
ylabel('z/a');
zlabel('Ve');
% Ny figur for Va
figure;
mesh(x,z,Va);
axis([-2 2 -2 2 -10 10]);
caxis([-10 10]);
xlabel('x/a');
ylabel('z/a');
zlabel('Va');
figure;
% Ny figur for relativdifferansen
mesh(x,z,Relavvik);
% Kun positive verdier for Relavvik
axis([-2 2 -2 2 0 100]);
% Fargeskala settes for Relavvik mellom 0 og 100
caxis([0 100]);
xlabel('x/a');
ylabel('z/a');
zlabel('|(Ve - Va)/Ve|*100%');

```

Når dette programmet kjøres i octave, resulterer det i disse figurene:



På neste side er et alternativt løsningsforslag, der vi benytter kommandoen linspace, samt såkalte ”function handles” når vi definerer funksjonene som skal plottes:

```

%%%%%%%%%%%%%%%
% Alternativt losningsforslag til oppgave 1a i oving 4 %
% (uten veldig mange kommentarer) %
%%%%%%%%%%%%%%%
x=linspace(-2,2,101); % Lager en vektor med 101 elementer.
[X, Z] = meshgrid(x); % Lager x og z koordinater for plot med x-vektoren som basis %
%
% Erklaerer funksjonene
% Ve = eksakt potensial
Ve=@(x,z) (1./((sqrt(x.^2+(z-1/2).^2))-1./((sqrt(x.^2+(z+1/2).^2))));
% Va = potensial til ledende orden i a/r
Va=@(x,z) z.*((x.^2+z.^2).^(3./2));
% Relavvik = relativ differanse i prosent
Relavvik=@(x,z) abs((Ve(x,z)-Va(x,z))./Ve(x,z))*100;
%
% Plotter funksjonene
%
figure;
mesh(x,x,Ve(X,Z));
axis([-2 2 -2 2 -10 10]);
caxis([-10 10]);
xlabel('x/a');
ylabel('z/a');
zlabel('eksakt V');
figure;
mesh(x,x,Va(X,Z));
axis([-2 2 -2 2 -10 10]);
caxis([-10 10]);
xlabel('x/a');
ylabel('z/a');
zlabel('approx V');
figure;
mesh(x,x,Relavvik(X,Z));
axis([-2 2 -2 2 0 100]);
caxis([0 100]);
xlabel('x/a');
ylabel('z/a');
zlabel('Rel diff i prosent');

```

b) Her har vi oppgitt  $V_a(r, \theta)$  og gradientoperatoren i kulekoordinater, så det er bare å regne i vei (ingenting avhenger her av vinkelen  $\phi$ , så ledet som inneholder  $\partial/\partial\phi$  trenger vi ikke å bry oss med):

$$\begin{aligned}\mathbf{E}(r, \theta) &= -\nabla V_a(r, \theta) \\ &= -\left(\hat{r} \frac{\partial}{\partial r} + \hat{\theta} \frac{1}{r} \frac{\partial}{\partial \theta}\right) \frac{p \cos \theta}{4\pi\epsilon_0 r^2} \\ &= \hat{r} \frac{p \cos \theta}{2\pi\epsilon_0 r^3} + \hat{\theta} \frac{p \sin \theta}{4\pi\epsilon_0 r^3}\end{aligned}$$

Vi merker oss at feltet fra en elektrisk dipol i stor avstand  $r$  fra dipolen faller av som  $1/r^3$ , altså raskere enn feltet fra en elektrisk ”monopol”, dvs en punktladning, som faller av som  $1/r^2$ . Feltbidragene fra de to ladningene med motsatt fortegn kansellerer hverandre delvis, men ikke fullstendig, ettersom retningen på de to bidragene til  $\mathbf{E}$  alltid vil være litt forskjellig.

Hvis  $\theta = 0$ , får vi

$$E_r = \frac{p}{2\pi\epsilon_0 r^3}$$

og

$$E_\theta = 0$$

Dette virker rimelig: Vi er nå i et punkt langt ute på  $z$ -aksen, slik at radiell retning blir nettopp langs  $z$ -aksen, mens  $\theta$ -retningen blir langs  $x$ -aksen. Og på  $z$ -aksen må vel det elektriskefeltet åpenbart ha retning langs  $z$ -aksen.

Hvis  $\theta = \pi/2$ , får vi

$$E_r = 0$$

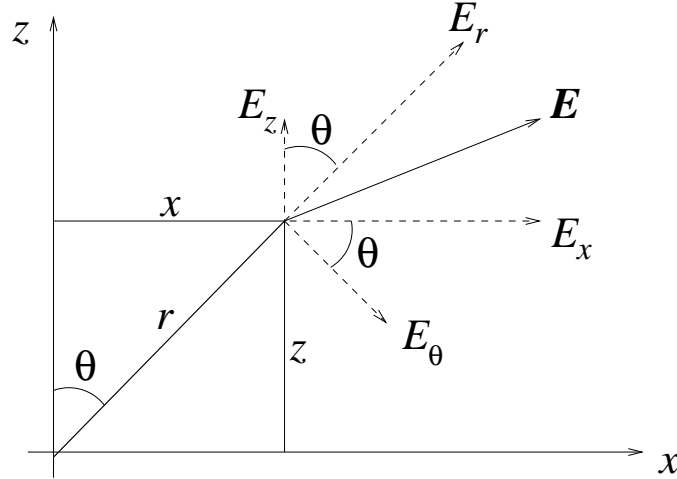
og

$$E_\theta = \frac{p}{4\pi\epsilon_0 r^3}$$

Dette virker også rimelig: Vi er nå i et punkt langt ute på  $x$ -aksen, slik at radiell retning blir nettopp langs  $x$ -aksen, mens  $\theta$ -retningen blir langs negativ  $z$ -akse. Og på  $x$ -aksen må vel det elektriskefeltet åpenbart ha retning langs negativ  $z$ -akse.

Setter vi inn  $r = 0$  i uttrykkene for  $E_r$  og  $E_\theta$ , ser vi at begge to går mot uendelig. Det er imidlertid ikke et reelt problem fordi vi nå forsøker å bruke uttrykket for  $E$  utenfor gyldighetsområdet  $r \gg a$ . Feltet i origo er langt fra uendelig, og heller ikke vanskelig å regne ut. Det klarer du helt sikkert selv!

c) Av figuren nedenfor skulle det gå relativt klart fram hvordan den elektriske feltvektoren  $\mathbf{E}$  enten kan dekomponeres i  $E_r$  og  $E_\theta$  eller i  $E_x$  og  $E_z$ .



Både  $E_r$  og  $E_\theta$  har komponenter i  $x$ -retning, og den totale  $x$ -komponenten av feltet må bli summen av disse to. Figurbetrakting gir:

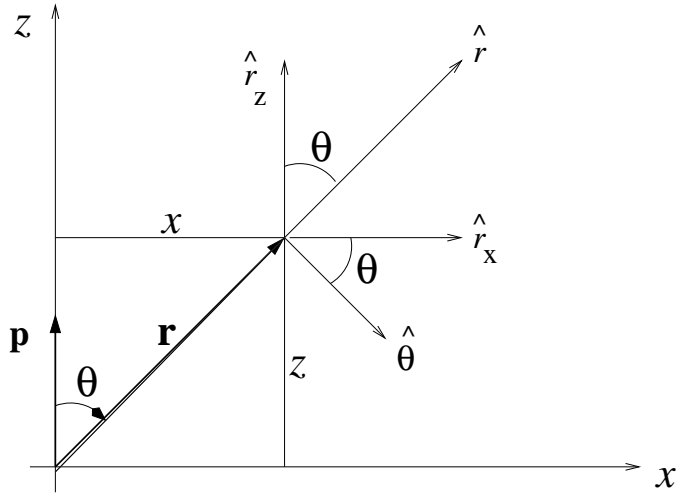
$$\begin{aligned}
 E_x &= E_r \sin \theta + E_\theta \cos \theta \\
 &= \frac{p \cos \theta}{2\pi\epsilon_0 r^3} \cdot \sin \theta + \frac{p \sin \theta}{4\pi\epsilon_0 r^3} \cdot \cos \theta \\
 &= \frac{3p}{4\pi\epsilon_0 r^3} \sin \theta \cos \theta \\
 &= \frac{3pxz}{4\pi\epsilon_0 r^5} \\
 &= \frac{3pxz}{4\pi\epsilon_0 (x^2 + z^2)^{5/2}}
 \end{aligned}$$

Her har vi brukt  $\sin \theta = x/r$ ,  $\cos \theta = z/r$  og  $r = (x^2 + z^2)^{1/2}$ .

Helt tilsvarende finner vi  $z$ -komponenten:

$$\begin{aligned}
 E_z &= E_r \cos \theta - E_\theta \sin \theta \\
 &= \frac{p \cos \theta}{2\pi\epsilon_0 r^3} \cdot \cos \theta - \frac{p \sin \theta}{4\pi\epsilon_0 r^3} \cdot \sin \theta \\
 &= \frac{p}{4\pi\epsilon_0 r^3} (2 \cos^2 \theta - \sin^2 \theta) \\
 &= \frac{(2z^2 - x^2)p}{4\pi\epsilon_0 (x^2 + z^2)^{5/2}}
 \end{aligned}$$

d) La oss starte med en figur som viser sammenhengen mellom de ulike vektorkomponentene:



Da har vi:

$$\begin{aligned}
 \mathbf{p} &= p_x \hat{x} + p_z \hat{z} \\
 p_x &= 0 \\
 p_z &= p \\
 \mathbf{p} &= p_r \hat{r} + p_\theta \hat{\theta} \\
 \mathbf{p} \cdot \hat{r} &= p_r = p \cos \theta \\
 \mathbf{p} \cdot \hat{\theta} &= p_\theta = -p \sin \theta \\
 \hat{r} &= \hat{r}_x \hat{x} + \hat{r}_z \hat{z} \\
 \hat{r}_x &= \sin \theta = x/r = x/\sqrt{x^2 + z^2} \\
 \hat{r}_z &= \cos \theta = z/r = z/\sqrt{x^2 + z^2}
 \end{aligned}$$

Vi har nå det vi trenger for å skrive ned  $E_r$  osv, fra det gitte uttrykket på koordinatfri form:

$$\begin{aligned}
 E_r &= \frac{1}{4\pi\varepsilon_0 r^3} [3\mathbf{p} \cdot \hat{r} - p_r] \\
 &= \frac{1}{4\pi\varepsilon_0 r^3} [3p_r - p_r] \\
 &= \frac{p \cos \theta}{2\pi\varepsilon_0 r^3}
 \end{aligned}$$

$$\begin{aligned}
 E_\theta &= \frac{1}{4\pi\varepsilon_0 r^3} [0 - p_\theta] \\
 &= \frac{p \sin \theta}{4\pi\varepsilon_0 r^3}
 \end{aligned}$$

$$\begin{aligned}
 E_x &= \frac{1}{4\pi\varepsilon_0 r^3} [3(p\hat{z} \cdot \hat{r})\hat{r}_x - p_x] \\
 &= \frac{1}{4\pi\varepsilon_0 r^3} [3p(z/r)(x/r) - 0]
 \end{aligned}$$

$$\begin{aligned}
&= \frac{3pxz}{4\pi\varepsilon_0 r^5} \\
&= \frac{3pxz}{4\pi\varepsilon_0 (x^2 + z^2)^{5/2}}
\end{aligned}$$

$$\begin{aligned}
E_z &= \frac{1}{4\pi\varepsilon_0 r^3} [3(p\hat{z} \cdot \hat{r})\hat{r}_z - p_z] \\
&= \frac{1}{4\pi\varepsilon_0 r^3} [3p(z/r)(z/r) - p] \\
&= \frac{p}{4\pi\varepsilon_0 r^3} [3z^2/r^2 - 1] \\
&= \frac{p}{4\pi\varepsilon_0 r^3} [3z^2/(x^2 + z^2) - (x^2 + z^2)/(x^2 + z^2)] \\
&= \frac{(2z^2 - z^2)p}{4\pi\varepsilon_0 (x^2 + z^2)^{5/2}}
\end{aligned}$$

Alle fire i samsvar med det vi fant i b) og c).

## Oppgave 2

### a) D

Total potensiell energi for et system med punktladninger er

$$U = \sum_{i < j} \frac{q_i q_j}{4\pi\varepsilon_0 r_{ij}}$$

der summen går over alle par av ladninger  $q_i$  og  $q_j$  i innbyrdes avstand  $r_{ij}$ . Her er alle ladninger like store i absoluttverdi. Vi har 4 par med motsatt fortegn i innbyrdes avstand 5 cm og 2 par (diagonalt) med likt fortegn i innbyrdes avstand  $\sqrt{50}$  cm. Dermed får vi:

$$U = 9 \cdot 10^9 \cdot (9 \cdot 10^{-6})^2 \cdot \left[ -\frac{4}{0.05} + \frac{2}{\sqrt{50} \cdot 10^{-2}} \right] \simeq -38 \text{ J}$$

### b) D

Punktladningene  $Q_1$  og  $Q_2$  flyttes ikke, så innbyrdes potensiell energi for dette paret trenger vi ikke å bry oss om fordi den endres ikke når den tredje ladningen (elektronet) flyttes. Vi må regne ut potensiell energi som skyldes vekselvirkningen mellom elektronet og de to fastliggende ladningene, henholdsvis før og etter forflytningen. Alternativt kan vi regne ut potensialet fra ladningene  $Q_1$  og  $Q_2$  i punktene A og B, hhv  $V_A$  og  $V_B$ , og deretter endringen i potensiell energi,

$\Delta U = U_B - U_A = -eV_B - (-e)V_A = -e(V_B - V_A)$ . Potensialet i avstand  $r$  fra en punktladning  $q$  er

$$V(r) = \frac{q}{4\pi\epsilon_0 r}$$

dvs Coulombpotensialet. De aktuelle avstandene her er 0.6 m (fra  $Q_1$  til A og fra  $Q_2$  til B) og  $\sqrt{0.6^2 + 0.8^2} = 1.0$  m (fra  $Q_1$  til B og fra  $Q_2$  til A). Dermed:

$$V_A = \frac{Q_1}{4\pi\epsilon_0 \cdot 0.6} + \frac{Q_2}{4\pi\epsilon_0 \cdot 1.0}$$

og

$$V_B = \frac{Q_1}{4\pi\epsilon_0 \cdot 1.0} + \frac{Q_2}{4\pi\epsilon_0 \cdot 0.6}$$

som gir

$$\Delta V = V_B - V_A = -\frac{2(Q_1 - Q_2)}{3 \cdot 4\pi\epsilon_0} = -\frac{2}{3} \cdot 9 \cdot 10^9 \cdot (69 + 98) \cdot 10^{-9} = -1002 \text{ V}$$

og endelig

$$\Delta U = -e \cdot \Delta V \simeq +1 \text{ keV}$$

c) **B.** Potensialet fra en punktladning er  $V(r) = q/4\pi\epsilon_0 r$  når  $V(r \rightarrow \infty)$  er satt til null. Med  $V = 50$  V finner vi

$$r = \frac{q}{4\pi\epsilon_0 V} = 9 \cdot 10^9 \cdot \frac{10^{-8}}{50} = 1.8 \text{ m}$$

Med SI-enheter for alle størrelser som inngår er vi garantert at svaret også kommer ut i SI-enhet, dvs m.

d) **D**

$$\mathbf{E} = -\nabla V = -\frac{dV}{dr}\hat{r} \Rightarrow \text{graf 5}$$

e) **A**

$$E_x = -\frac{dV}{dx} = -2 \frac{\text{V}}{\text{m}}$$